

(V-29) 鉄筋コンクリート桁の疲労性状に及ぼすスター・ラップの影響

木更津工業高等専門学校 正員 ○黒川章二
同上 正員 鳴野慶次

1. まえがき

鉄筋コンクリート(RC)桁において、異形鉄筋に添って発生するコンクリートの付着割裂ひびわれは、酸化環境における鉄筋の腐食、鉄筋とコンクリートとの定着破損による耐荷力低下の原因になる。付着割裂は、鉄筋とコンクリートとの相対変位に伴って生じる鉄筋のふしによるコンクリートへのくさび作用、せん断力に対して抵抗する鉄筋のだば作用による現象である。繰返し荷重を受ける場合の付着割裂ひびわれ制御に及ぼすスター・ラップの影響を明らかにするために、スター・ラップ量とせん断スパン比 a/d を実験因子として47本のRC桁の疲労試験と静的載荷試験を行なった。本文はその実験の概要について述べる。

2. 供試体および実験方法

実験は、スター・ラップ使用量と a/d の組合せを変えた図1に示す5種類について行なった。コンクリートの示方配合は表1のとおりであり、早強セメントを用いた。引張主鉄筋に表2のSD30異形棒鋼、スター・ラップに表3のSR24丸鋼を使用した。実験Iにおいてはスター・ラップなしとした。他の実験のスター・ラップ間隔は、実験IIにおいて28cm、実験IIIおよびVにおいて8cm、実験IVにおいて10cmである。 a/d は、実験I、II、IIIで5.61、実験IVで4.24、実験Vで3.64とした。4本の桁を同時に製造して、1本を静的載荷試験し、残りについて、静的耐力に対する下限荷重比を10%に定め、上限荷重をバラメータとした疲労試験を実施した。繰返し荷重は4.2Hzの正弦荷重である。35本の疲労試験桁の上限荷重比は表4に示すとおりである。

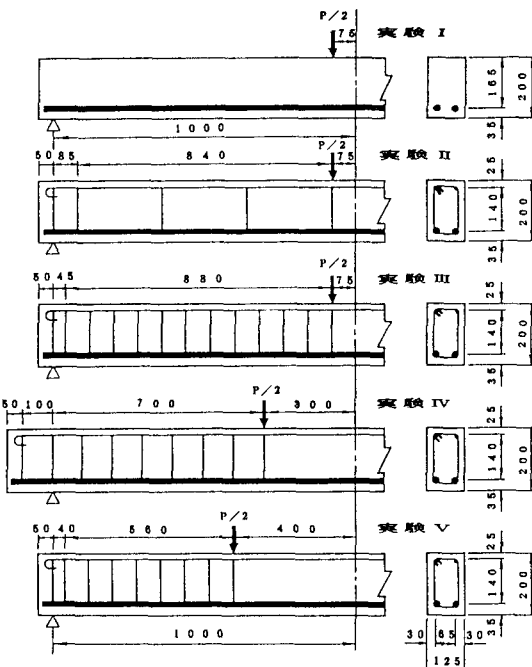


図1 各実験の供試体と載荷方法

表1 コンクリートの示方配合

細骨 材の 最大 寸法 mm	水セ メント 比 %	細骨 材率 %	単位量 (kg/m ³)				
			水	セメ ント	細骨 材	粗骨 材	ボゾリ ス No.5L
20	40	41	143	358	735	1096	0.895

表2 異形棒鋼の性質

公称径 mm	降伏強さ kgf/mm ²	引張強さ kgf/mm ²	伸び %	絞り %	弾性係数 kgf/mm ²
19.1	37.2	56.3	22.1	46.0	21000

表3 丸鋼の性質

実 径 mm	降伏強さ kgf/mm ²	引張強さ kgf/mm ²	伸び %	絞り %	弾性係数 kgf/mm ²
6.00	35.3	47.0	22.1	46.0	21000

表4 寸法 白石 斧打目式馬場 と 斧打タチ目式馬場 上 手足 右脚

試験 別	試験 順序	コンクリートの性質		静的載荷試験結果			静的耐力に対する 上限荷重比
		圧縮 強さ kgf/cm ²	引張 強さ kgf/cm ²	弹性係数 kgf/cm ²	載荷 量 (t)	鉄筋 引張 力 (t)	
実験 I	1	579	35.7	366000	0.80	7.33	曲げ圧縮 79.0 59.0
	2	562	39.3	361000	0.60	6.80	せん断 75.0 68.0 65.0
実験 II	1	496	34.1	311000	0.60	6.80	曲げ圧縮 85.0 80.0 75.0
	2	604	45.3	402000	0.60	7.18	曲げ引張 88.9 78.0 70.0
実 験 III	1	531	37.4	360000	0.80	7.78	曲げ圧縮 80.0 71.0 67.0
	2	506	34.3	330000	0.60	7.48	曲げ圧縮 86.0 75.0 60.0
実験 IV	1	526	37.3	312000	1.00	9.11	曲げ引張 85.0 80.0 65.0
	2	508	35.2	319000	0.80	9.46	曲げ引張 77.5 75.0 72.5
実 験 V	1	549	37.4	355000	1.20	10.75	曲げ圧縮 90.0 85.0 81.5
	2	520	39.0	329000	1.20	10.70	曲げ圧縮 75.0 72.5 70.0
	3	565	38.6	364000	0.80	10.52	曲げ圧縮 73.0 72.5 72.0

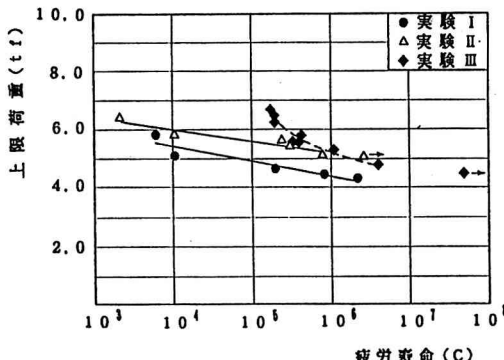


図2 上限荷重と疲労寿命との関係（実験I、II、III）

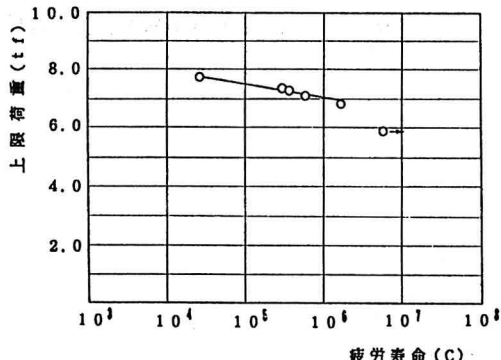


図3 上限荷重と疲労寿命との関係（実験IV）

3. 実験結果と考察

表4に静的載荷試験結果を示した。疲労試験結果について、上限荷重と疲労寿命との関係を図1～4、ひびわれ状況を図5に示した。図中の矢印はプロット時点で疲労試験を中止した試験データである。疲労破壊形式は実験IVの2本を除いたすべての桁で静的破壊形式と異なる。図1によれば、スターラップがRC桁の疲労強度に大きく影響する。実験Iでは全ての桁の疲労破壊が図5(a)のように斜めひびわれに連続なコンクリートの付着割裂による破壊である。実験IIでも桁の疲労破壊が全て図5(b)のようにコンクリートの付着割裂により生じた。実験IIIの場合、鉄筋の破断または鉄筋の降伏後のコンクリートの曲げ圧縮破壊により桁が疲労破壊した。全ての桁に付着割裂ひびわれが発生したがスターラップによる抑制効果が現れてひびわれの成長がスターラップ位置付近で停止した。上限荷重と疲労寿命との関係が他の場合と異なって曲線になるのは、図5(c)に見られるように大きい上限荷重作用で載荷点近傍に付着割裂ひびわれが発生し、鉄筋の付着破壊区間が延長されて生じる応力緩和が原因と考えられる。200万回以上の疲労強度は、実験IIIと比べてスターラップが少ない実験IIの方が高くなる傾向にある。これも付着割裂に起因する鉄筋の応力緩和によると思われる。実験IVの場合、疲労破壊形式は上限荷重比が80%以上においてコンクリートの曲げ圧縮破壊、77.5%と75%において引張主鉄筋の破断、72.5%において支点まで付着割裂ひびわれが生じたコンクリートのせん断破壊である。実験Vの場合、終局限界状態において曲げ耐力とせん断耐力とを等しく設計した。上限荷重が7.76tf以上において鉄筋の破断または降伏、7.68tfおよび7.63tfにおいて引張主鉄筋との交差位置においてスターラップ折曲げ部の破断が生じた。全ての桁に付着割裂ひびわれが発生したが、図5(d)に示すようにスターラップにより成長が妨げられた。

コンクリートの付着割裂ひびわれを効果的に制御するためにはスターラップ間隔を狭める必要がある。

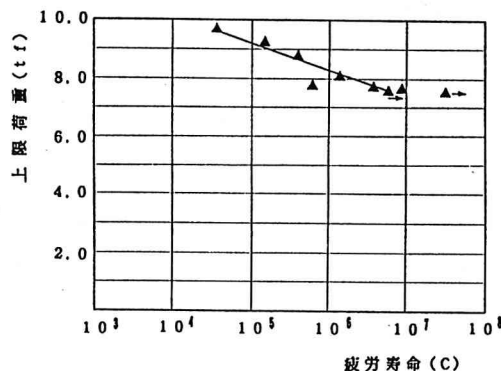


図4 上限荷重と疲労寿命との関係（実験V）

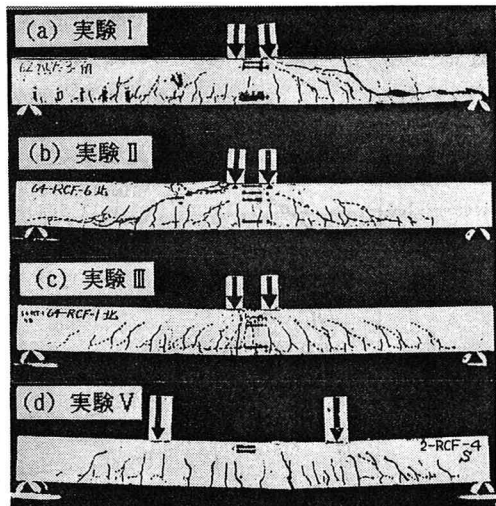


図5 ひびわれ状況